

Какой сдвиг и предположить

сдвигать Минус для
проверки и фазы FFP

$$(-15.6) \quad u^{inc} = e^{-i(k, \hat{x})} \rightarrow u^{sc}(\hat{x}) = \frac{e^{-i(k, \hat{x})}}{\sqrt{|\hat{x}|}} u_{\infty}(\hat{x})$$

для тела в начале координат

Если тело переносится в точку \vec{R} , то

$$u^{sc}(\hat{x}) = \frac{e^{-i(k, \hat{x})}}{\sqrt{x}} \underbrace{e^{i(k, \hat{x}, \vec{R})} e^{-i(k, \vec{R})}}_{u_{\infty}(\hat{x})} \leftarrow \text{скалярное произведение}$$

Надо выбрать R так, чтобы вариации (\hat{x}, R) были видны на графике

$$(\hat{x}, R) \in [-R, R]; \quad \Rightarrow k(\hat{x}, R) \in [-kR, kR]$$

$$\text{хоту } [-kR, kR] = \left[-\frac{4}{5}\pi, \frac{4}{5}\pi\right]$$

$$\Rightarrow kR = \frac{4}{5}\pi \quad R = \frac{4\pi}{5k}$$

$$\text{Если } k = 10 \quad \text{то } R = \frac{4\pi}{50} \approx \frac{12}{50} \approx \frac{1}{4}$$

$$\text{Взять } \varphi_{сдвиг} = 20^\circ; \quad R = \left(\frac{4\pi}{50} \cos \varphi_{сдвиг}, \frac{4\pi}{50} \sin \varphi_{сдвиг} \right)$$

Формулы SAR для "-i"

-i1

Я переписываю существенные формулы из $FP1 \div FP10$ в парадигме

(a) $u(x, t) \sim e^{-i[(k, x) - \omega t]}$. В $FP...$ я признавал $e^{+i[...]}$, как у Колтона-Кресс, однако Коз Мефвинского использует "второй ~~теорема~~ Ханкель", что мы своими глазами видим. Это свидетельствует о расхождении ~~ко~~ с КК, см. ~~и~~ (3.83), где используется "первый Ханкель".

"КК" — это "Inverse Acoustic and Electromagnetic Scattering Theory" Third Edition by D. Colton and R. Kress

Напишем с формулы

$$(KK 2.9) \quad u(x) = \int_{\partial D} \left[u(y) \frac{\partial \Phi(x, y)}{\partial n(y)} - \frac{\partial u}{\partial n}(y) \Phi(x, y) \right] ds_y$$

где $x \in \mathbb{R}^3 \setminus \bar{D}$, и

$$(KK 2.1) \quad \Phi(x, y) = \frac{1}{4\pi} \frac{e^{ik|x-y|}}{|x-y|}$$

Выбор Φ с плюсом как в (КК 2.1) ⁻ⁱ²
 не обязателен, поскольку Φ должно
 быть фундаментальным решением
 уравнения Гельмгольца ~~то~~ для κ .

Тогда $\bar{\Phi}(x, y) = \frac{1 e^{-i\kappa|x-y|}}{4\pi|x-y|}$ — фундаментальное

решение для $(-\kappa)$, но в уравнении
 Гельмгольца есть только $\kappa^2 \Rightarrow \bar{\Phi}$ —
 фундаментальное решение и для κ тоже.

Разложение по (2.14) для $|x| \rightarrow \infty$:

$$|x-y| = \sqrt{|x|^2 - 2(x, y) + |y|^2} = |x| - (\hat{x}, y) + O\left(\frac{1}{|x|}\right)$$

$$\text{тогда } \frac{e^{-i\kappa|x-y|}}{|x-y|} \approx \frac{e^{-i\kappa|x|}}{|x|} e^{+i\kappa(\hat{x}, y)}$$

$$\frac{\partial}{\partial x} \frac{1}{|x|} = -\frac{\hat{x}}{|x|^2}$$

$$(КК 2.16) \quad \frac{\partial}{\partial n(y)} \frac{e^{-i\kappa|x-y|}}{|x-y|} \approx \frac{e^{-i\kappa|x|}}{x} \frac{\partial}{\partial n(y)} e^{+i\kappa(\hat{x}, y)}$$

Эти выражения входят в формулу
 для ФФР (КК 2.9), то же — в её
 двумерный вариант, где в качестве $\bar{\Phi}$
 мы берём $\frac{i}{4} H_0^{(2)}(\kappa|x-y|)$ (в отличие
 от $H_0^{(1)}$ в (КК 3.83)).

Мы можем убедиться с помощью $(-i3)$
(КК 3.82), что $H_n^{(1,2)}$ удовлетворяют разным
вариантам условия Зоммерфельда. Действительно.

$$(КК 3.82) \begin{cases} H_n^{(1,2)}(t) = \sqrt{\frac{2}{\pi t}} e^{\pm i(t - \frac{\pi n}{2} - \frac{\pi}{4})} \left(1 + O\left(\frac{1}{t}\right)\right) \\ H_n^{(1,2)'}(t) = \sqrt{\frac{2}{\pi t}} e^{\pm i(t - \frac{\pi n}{2} + \frac{\pi}{4})} \left(1 + O\left(\frac{1}{t}\right)\right) \end{cases}$$

Тогда для $y=0$

$$\frac{\partial \Phi(x)}{\partial |x|} - i\kappa \Phi = \left(\frac{\partial}{\partial |x|} - i\kappa\right) \cdot \frac{i}{4} H_0^{(1)}(\kappa|x|) =$$

$i = e^{i\frac{\pi}{2}}$

$$\approx \frac{i}{4} \sqrt{\frac{2}{\pi \kappa |x|}} e^{+i(\kappa|x| - \frac{\pi n}{2})} \underbrace{\left(\kappa e^{+i\frac{\pi}{4}} - i\kappa e^{-i\frac{\pi}{4}}\right)}_{=0} = 0$$

$$\frac{\partial \bar{\Phi}}{\partial |x|} + i\kappa \bar{\Phi} = \left(\frac{\partial}{\partial |x|} + i\kappa\right) \frac{i}{4} H_0^{(2)}(\kappa|x|) =$$

$$\approx \frac{i}{4} \sqrt{\frac{2}{\pi \kappa |x|}} e^{-i(\kappa|x| - \frac{\pi n}{2})} \underbrace{\left(\kappa e^{-i\frac{\pi}{4}} + i\kappa e^{\frac{\pi}{4}}\right)}_{=0} = 0$$

$= \kappa(e^{-i\frac{\pi}{4}} + e^{i\frac{3\pi}{4}}) = 0$

Значит, решения на основе $H_0^{(2)}$
соответствуют $\frac{\partial u}{\partial x} \pm i\kappa u \rightarrow 0$, т.е.,
 $u(x) \sim e^{-i(\kappa, x)}$, как и ожидалось

Тогда в формуле (3.87) меняется $-i4$
 знак в экспоненте: $(n=0)$

(KK 3.86) ~~$u(x) = \frac{e^{-i\kappa|x|}}{\sqrt{|x|}} (u_\infty(\hat{x}) + O(\frac{1}{|x|}))$~~

(KK 3.87)
$$u_\infty(\hat{x}) = \frac{e^{-\frac{i\pi}{4}}}{\sqrt{8\pi\kappa}} \int_{\partial D} \left(u(y) \frac{\partial}{\partial n} e^{+i\kappa(\hat{x}, y)} - \frac{\partial u}{\partial n}(y) e^{+i\kappa(\hat{x}, y)} \right) ds_y$$

Я не уверен в
 этом знаке, но неважно

Из программы Медвинского я получаю
 (y, n_y) — координаты и нормаль (каждое — 2 числа)
 (u, u_n) — поле и нормальная производная
 (каждое — одно комплексное число)
 также знаю κ и \hat{x} — напр-е отражения

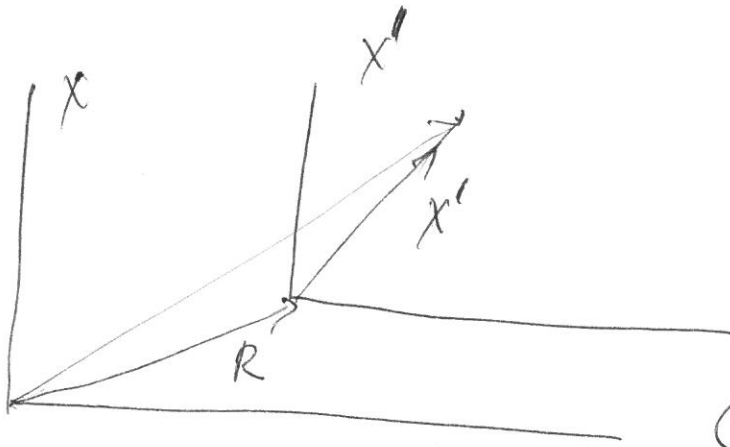
(a) тогда $u_\infty(\hat{x}) \sim \frac{1}{\sqrt{\kappa}} \int (u \frac{\partial}{\partial n} e^{i\kappa(\hat{x}, y)} - u_n e^{i\kappa(\hat{x}, y)}) dS_y$

(b) $\frac{\partial}{\partial n_y} e^{i\kappa \hat{x}, y} = n_y \cdot \nabla_y (e^{i\kappa(\hat{x}, y)}) = n_y \cdot i\kappa \hat{x} e^{i\kappa(\hat{x}, y)}$

(c) $\sim \frac{1}{\sqrt{\kappa}} \sum_j (u_j \cdot i\kappa(n_{yj}, \hat{x}) - u_{nj}) e^{i\kappa(\hat{x}, y_j)} \cdot \Delta S_j$

важно: считать ΔS_j — а это
 не для; для сферы — неважно, для
 остальных форм — важно.

Отражённое поле для
"сдвинутого" точечного отражателя



$$\vec{X} = \vec{R} + \vec{x'}$$

$$\vec{x'} = \vec{X} - \vec{R}$$

см FPS

при этом $u^{inc} = e^{-i(k^i, x)}$

В штрихованной системе:

$$(u^{inc} = e^{-i(k^i, x')}) \rightarrow (u^{sc} = \frac{e^{-i(k^i, x')}}{\sqrt{x'}} A)$$

где $A = u_\infty = const$, т.к. отражатель - точечный. Если $u^{inc} = C e^{-i(k^i, x')}$, то $u^{sc} = \frac{e^{-i(k^i, x')}}{\sqrt{x'}} CA$

Найдём C из того, что реально

$$u^{inc} = e^{-i(k^i, x)}, \text{ тогда}$$

$$u^{inc} = e^{-i(k^i, (x' + R))} = e^{-i(k^i, x')} e^{-i(k^i, R)} = C$$

$$\Rightarrow C = e^{-i(k^i, R)} \Rightarrow u^{sc} = \frac{e^{-i(k^i, x')}}{\sqrt{x'}} e^{-i(k^i, R)} A$$

Со стр. $-i2$:

$-i6$

$$|x-y| \approx |x - (\hat{x}, y)|$$

$$\Rightarrow |x'| = |x-R| = |x - (\hat{x}, R)|$$

$$\Rightarrow u^{\text{sc}} = \frac{e^{-i\kappa(|x| - (\hat{x}, R))}}{\sqrt{|x|}} e^{-i(\kappa^i, R)} \cdot A =$$

$$\underbrace{\sqrt{|x'|} \approx \sqrt{|x|}}_{\text{ср. с ФРБ}} = \frac{e^{-i\kappa|x|}}{\sqrt{|x|}} e^{i\kappa(\hat{x}, R)} e^{-i(\kappa^i, R)} A$$

ср. с ФРБ: поменялись два знака

~~еще~~ Для обратного рассеяния $\kappa \hat{x} = -\kappa^i$

$$\Rightarrow e^{i\kappa(\hat{x}, R)} e^{-i(\kappa^i, R)} A = e^{-2i(\kappa^i, R)} A$$

Если у нас есть разные "падающие" κ^l и много точек (A_j, R_j) , то

$$u_{\infty j}^l(\hat{x}) = A_j e^{i\kappa^l(\hat{x}, R_j)} e^{-i(\kappa^l, R_j)}$$

$$u_{\infty j}^{l \text{ "вск" }}(\hat{\kappa}^l) = A_j e^{-2i(\kappa^l, R_j)}$$

это отличается по ~~форме~~ представлению от ФРБ, где было $u_{\infty j}^{l \text{ "вск" }}(\hat{x})$: здесь у меня $u^{l \text{ "вск" }}(\hat{\kappa}^l)$, т.е., зависимость от "падающего" направления

Свершим ритуал вывоза формулы ⁻¹⁷
 для картинка в Фурье - представлении
 (27) \rightarrow (29) на истогках, или (9.12) \rightarrow (9.11)
 в Cheney - Borden.

У нас
$$I(y) = \sum_m \int \bar{P}\left(t - \frac{2R_y^m}{c}\right) u_m^{sc}(x^m, t) dt$$

На время отбросим m, \sum_m, x^m :

$$I(y) = \int dt \bar{P}(t - t_y) u^{sc}(t) dt, \text{ где } t_y = \frac{2R_y}{c}$$

Сейчас удобно считать: $P(t) = e^{i\omega_0 t} e^{-i2t^2}$

$$\left. \begin{aligned} P(t) &= \frac{1}{2\pi} \int \hat{P}(\omega) e^{i\omega t} d\omega \\ u^{sc}(t) &= \frac{1}{2\pi} \int \hat{u}^{sc}(\omega') e^{i\omega' t} d\omega' \end{aligned} \right\} \begin{array}{l} \text{здесь кривки} \\ \text{означают} \\ \text{просто Фурье} \\ \text{-представление} \end{array}$$

$$\bar{P}(t - t_y) = \frac{1}{2\pi} \int \bar{\hat{P}}(\omega) e^{-i\omega(t - t_y)} d\omega$$

$$\Rightarrow I(y) = \int_m dt \cdot \frac{1}{2\pi} \int d\omega \bar{\hat{P}}(\omega) e^{i\omega t_y} \underbrace{e^{-i\omega t}}_{\substack{\frac{1}{2\pi} \int d\omega' \hat{u}^{sc}(\omega') e^{i\omega' t}}} \\ \cdot \frac{1}{2\pi} \int d\omega' \hat{u}^{sc}(\omega') e^{i\omega' t}$$

(Используем: $\int dt e^{i(\omega' - \omega)t} = 2\pi \delta(\omega - \omega')$)

$$\Rightarrow I(y) = \frac{1}{2\pi} \int d\omega \, \bar{p}(\omega) \hat{u}^{sc}(\omega) e^{i\omega t_y} \quad \leftarrow i8$$

Заменяем $\int d\omega \rightarrow \sum_{\ell}$; $\omega \rightarrow \omega_{\ell}$,
 уберём $\frac{1}{2\pi}$ и прочие коэффициенты
 вроде ~~$d\omega$~~ : $\Delta\omega$:

$$I(y) = \sum_{\ell} \bar{p}_{\ell} \hat{u}_{\ell}^{sc} e^{i\omega_{\ell} t_y}, \text{ где}$$

$$\left. \begin{aligned} p(t) &= \sum_{\ell} \bar{p}_{\ell} e^{i\omega_{\ell} t} \\ u^{sc}(t) &= \sum_{\ell} \hat{u}_{\ell}^{sc} e^{i\omega_{\ell} t} \end{aligned} \right\} \text{ всё в точке } x$$

Как выразить \hat{u}_{ℓ}^{sc} через u_{∞} ?

По определению, если $u^{in}(t) = e^{i\omega_{\ell} t}$,
 то $u^{sc}(t) = u_{\infty} e^{i\omega_{\ell} t}$ в точке $z=0$,
 т.е. u_{∞} привязано к негачу координат.

$$\begin{aligned} u^{in}(t) &= \sum_{\ell} \bar{p}_{\ell} e^{i\omega_{\ell} (t - |x|/c)} \\ &= \sum_{\ell} \bar{p}_{\ell} e^{-i\omega_{\ell} |x|/c} e^{i\omega_{\ell} t} \end{aligned}$$

$$\Rightarrow u^{sc}(t) = \sum_{\ell} u_{\infty} \bar{p}_{\ell} e^{-i\omega_{\ell} |x|/c} e^{i\omega_{\ell} t}$$

Тогда в точке x (-ig)

$$u^{sc}(t; x) = \sum_{\ell} u_{\infty}^{\ell} \hat{p}_{\ell} e^{-i\omega_{\ell}|x|/c} e^{i\omega_{\ell}(t - |x|/c)}$$

$$= \sum_{\ell} u_{\infty}^{\ell} \hat{p}_{\ell} e^{-2i\omega_{\ell}|x|/c} e^{i\omega_{\ell}t}$$

$$\Rightarrow \hat{u}_{\ell}^{sc} = u_{\infty}^{\ell} \hat{p}_{\ell} e^{-2i\omega_{\ell}|x|/c}$$

Теперь: $t_y = \frac{2}{c}|x-y| \approx \frac{2}{c}(|x| - (\hat{x}, y))$

стр. -ig

$$\Rightarrow I(y) = \sum_{\ell} \hat{p}_{\ell} \cdot \underbrace{u_{\infty}^{\ell} \hat{p}_{\ell} e^{-2i\omega_{\ell}|x|/c}}_{= \hat{u}_{\ell}^{sc}} \cdot e^{i\omega_{\ell} \cdot \frac{2}{c}(|x| - (\hat{x}, y))}$$

$$= \sum_{\ell} |\hat{p}_{\ell}|^2 u_{\infty}^{\ell} e^{-2i|\kappa_{\ell}|(\hat{x}, y)}, \text{ где } |\kappa_{\ell}| = \frac{\omega_{\ell}}{c}$$

Изменился знак в экспоненте по

сравнению с (31).

Для гиря $|\hat{p}_{\ell}|^2 \approx \text{const}(\ell) \Rightarrow$

$$I(y) = \sum_{\ell} u_{\infty}^{\ell} e^{-2i|\kappa_{\ell}|(\hat{x}, y)}$$

потом можно добавить сумму по апертуре:

$$\sum_m; u_{\infty}^{\ell} \rightarrow u_{\infty}^{\ell, m}; \hat{x} \rightarrow \hat{x}_m$$

Одномерная картинка

-100

ака. Rang Compression

$$I(y_r) \stackrel{(-i9)}{=} \sum_{\ell} u_{\infty}^{\ell} e^{-2i\ell k^{\ell} |y_r|}, \text{ где } y_r = (\hat{x}, y)$$

так как \hat{x} направлено на источник,
положительные y_r ближе к источнику,
чем отрицательные.

т.е., не в наших координатах
надо выразить

Для "сдвинутых" отрицательных
 $u_{\infty, f}^{\ell}$ через R_f и \hat{x}

стр (-16)

$$u_{\infty}^{\ell}(\hat{x}) = A_f e^{i\hat{x}(\hat{x}, R_f)} e^{-i(\kappa^i, R_f)}$$

$\kappa^{\ell} \hat{x} = -\kappa^i$

Для обратного

рассеяния

(a) Тогда $u_{\infty, f}^{\ell} = A_f e^{2i\kappa^{\ell}(\hat{x}, R_f)}$

$$I(y_r) = \sum_{\ell} \left(\sum_j A_j e^{2i\kappa^{\ell}(\hat{x}, R_j)} \right) \cdot e^{-2i\kappa^{\ell}(\hat{x}, y)} \quad \text{где } y = y_r$$

(b)

$$= \sum_{\ell} u_{\infty}^{\ell} e^{-2i\kappa^{\ell} \cdot y_r}$$

(c)

$$= \sum_{\ell} u_{\infty}^{\ell} e^{-2i\kappa^{\ell} |(\hat{x}, y)|}$$